

УДК 537.523:538.4

А.А. ТРОПИНА¹, В.Е. КОСТЮК²

¹Харьковский национальный автомобильно-дорожный университет, Украина

²Национальный аэрокосмический университет им. Н.Е. Жуковского «ХАИ», Украина

ЧИСЛЕННЫЙ АНАЛИЗ ХАРАКТЕРИСТИК ЭЛЕКТРИЧЕСКОЙ ДУГИ В ТУРБУЛЕНТНОМ ПОТОКЕ ГАЗА

Предложена методика сопряженного расчета электрической дуги в турбулентном потоке газа, позволяющая проводить оценки характеристик дуги без привлечения дополнительных экспериментальных данных о распределении температуры на поверхностях электродов. Показана возможность выявления условий существования устойчивой работы промышленных плазмотронов, работающих в режиме локального теплового равновесия, путем определения размеров токопроводящей зоны непосредственно в процессе расчета.

турбулентное течение, дуговой разряд, численное моделирование, сопряженный подход, промышленный плазмотрон, условия существования дуги, устойчивость

Введение

Изучение характеристик дугового разряда в зависимости от используемой модели плазмы, режимов течения и геометрии разрядной камеры важно как для понимания механизма взаимодействия плазмы с турбулентным потоком газа, так и для улучшения работы существующих промышленных плазмотронов. Трудности моделирования подобных течений связаны с постановкой граничных условий вблизи электродов, где происходит взаимодействие плазмы с электродом, и идут процессы интенсивного тепловыделения, осложненные присутствием электромагнитного поля.

В большинстве работ для задания граничных условий используются экспериментальные данные о распределении температуры вдоль электродов и радиусы привязки дуги к электродам [1, 2]. При отсутствии подобных экспериментальных данных, так например, при проектировании новых пламенных устройств, использование такого подхода становится невозможным. В данной работе для расчета характеристик электрической дуги предлагается использовать метод, основанный на решении сопряженной задачи, когда в расчетную область, помимо

области, занятой плазмой, включаются области, занятые катодом и анодом. Подобный подход использовался авторами работы [3], однако авторы ограничились рассмотрением горения открытой электрической дуги в ламинарном режиме при достаточно простой геометрии расчетной области. В настоящей работе проводится численный анализ характеристик дуги в турбулентном потоке для промышленного плазмотрона в зависимости от силы тока и скорости подачи газа.

Постановка задачи. Рассматривается электрическая дуга, горящая в воздухе при атмосферном давлении в канале плазмотрона между составным катодом с плоским торцом и плоской поверхностью медного анода (рис. 1). Для описания характеристик дуги используется система уравнений МГД-приближения. Предполагается, что протекающие процессы стационарные, течение осесимметричное, излучение объемное, пульсациями электромагнитных величин можно пренебречь. Плазма находится в состоянии локального термодинамического равновесия (ЛТР). Свойства турбулентного течения газа описываются двухпараметрической $k-\varepsilon$ моделью турбулентности (RNG модификация).

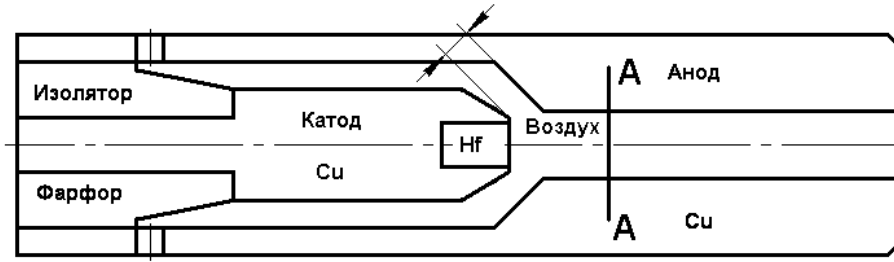


Рис. 1. Схема плазмотрона

Основные уравнения имеют вид:

$$\frac{\partial}{\partial x_j} (\rho v_j) = 0; \quad (1)$$

$$\frac{\partial}{\partial x_j} (\rho v_j v_i + p \delta_{ij} - \tau_{ij}) = 0; \quad (2)$$

$$\frac{\partial}{\partial x_j} (\rho v_j k) = \frac{\partial}{\partial x_j} \left(\left(\mu + \frac{\mu_t}{\sigma_k} \right) \frac{\partial k}{\partial x_j} \right) + 2\mu_t S_{ij} S_{ij} - \frac{2}{3} (\mu_t S_{nn}^2 + \rho k S_{nn}) - \rho \varepsilon; \quad (3)$$

$$\frac{\partial}{\partial x_j} (\rho v_j \varepsilon) = \frac{\partial}{\partial x_j} \left(\left(\mu + \frac{\mu_t}{\sigma_\varepsilon} \right) \frac{\partial \varepsilon}{\partial x_j} \right) + c_1 \frac{\varepsilon}{k} \left[2\mu_t S_{ij} S_{ij} - \frac{2}{3} (\mu_t (S_{nn})^2 + \rho k S_{nn}) \right] - c_2 \frac{\rho \varepsilon^2}{k} + C_3 \rho \varepsilon S_{nn} - R; \quad (4)$$

$$\rho (\bar{v} \cdot \nabla) h = \bar{j} \cdot \bar{E} + \nabla \cdot \left(\frac{\lambda \nabla T}{c_p} \right) - \psi; \quad (5)$$

$$\nabla \times \bar{E} = 0; \quad \nabla \times \bar{H} = \bar{j}; \quad \bar{j} = \sigma (\bar{E} + \bar{v} \times \mu \bar{H}); \quad (6)$$

$$R = \rho C_\mu \frac{\eta^3 (1 - \eta / \eta_0) \varepsilon^2}{(1 + \beta \eta^3) k}; \quad \tau_{ij} = \tau_{lij} + \tau_{tij}; \quad \tau_{lij} = 2\mu \left(S_{ij} - \frac{S_{nn} \delta_{ij}}{3} \right); \quad \mu_t = C_\mu \frac{k^2}{\varepsilon}; \quad S_{ij} = \frac{1}{2} \left(\frac{\partial u_i}{\partial x_j} + \frac{\partial u_j}{\partial x_i} \right);$$

$$R = S k / \varepsilon; \quad S = \sqrt{2 \Omega_{ij} \Omega_{ij}}; \quad \Omega_{ij} = \frac{1}{2} \left(\frac{\partial v_i}{\partial x_j} - \frac{\partial v_j}{\partial x_i} \right),$$

где v_j ($j = \overline{1,3}$) — компоненты вектора скорости;

τ_{lij} (τ_{tij}) — тензор молекулярных (турбулентных) напряжений;

μ_t — турбулентная вязкость;

k — кинетическая энергия турбулентности;

ε — скорость диссипации турбулентной кинетической энергии;

S_{ij} — тензор скоростей деформации;

h — энтальпия;

p — давление;

\bar{H} — вектор магнитной индукции;

\bar{E} — вектор напряженности электрического поля;

σ — проводимость среды.

Поскольку в осесимметричном приближении магнитная индукция имеет только одну компоненту H_φ , уравнения Максвелла могут быть сведены к одному уравнению для H_φ вида:

$$\frac{1}{r} \frac{\partial}{\partial r} \left(r \frac{\partial H_{\varphi}}{\partial r} \right) + \frac{\partial}{\partial z} \left(\frac{1}{\sigma} \frac{\partial H_{\varphi}}{\partial z} \right) + \frac{H_{\varphi}}{r} \frac{\partial}{\partial r} \left(\frac{1}{\sigma} \right) - \mu_0 \frac{\partial}{\partial z} (v H_{\varphi}) - \mu_0 \frac{\partial}{\partial r} (u H_{\varphi}) = 0. \quad (7)$$

Система уравнений (1) – (7) замыкается граничными условиями на входе в расчетную область, а именно на внешней границе катода и анода, где $T_a = T_c = 300 \text{ K}$; $H_{\varphi} = Ir^2 / 2\pi r_c^2$ (катод); $H_{\varphi} = I / 2\pi r$ (анод). В выходном сечении используются «мягкие» условия: $\partial^2 \varphi / \partial z^2 = 0$, где φ – зависящая переменная. На стенках канала используются условия прилипания, а на оси при $r = 0$ выполняются условия симметрии.

Решение системы дифференциальных уравнений проводилось методом конечных разностей в физических переменных. Дискретизация уравнений осуществлялась методом контрольного объема, при этом конвективные члены аппроксимировались разностями, ориентированными против потока. Поле давления рассчитывалось с помощью метода SIMPLE. Расчетная область включала в себя твердые тела (катод, анод) и область, занятую газом и плазмой. Решение разностных уравнений осуществлялось итерационным методом. При решении задачи в области, занятой составным катодом, состоящим из гафниевой вставки, медной части и катододержателя из изоляционного материала, исходная область разбивалась на три части, в каждой из которых использовались теплофизические свойства конкретного материала. При этом моделирование джоулева тепловыделения осуществлялась с учетом различных коэффициентов электропроводности для отдельных частей катода.

Можно отметить, что уравнение для H_{φ} имеет особенность при $\sigma \rightarrow 0$. Таким образом, существует предельное минимальное значение σ , при котором еще существует стационарное решение и которое можно определить из следующего соотношения, связывающего интенсивность объемного джоулева

тепловыделения с вложенной энергией:

$$I \cdot U = \int_V (\vec{E} \cdot \vec{j}) dV. \quad (8)$$

Поскольку избыточное давление, создаваемое электромагнитными силами в электрической дуге незначительно по сравнению с атмосферным [1], то его влиянием на теплофизические коэффициенты можно пренебречь. Таким образом, коэффициенты λ и σ считались известными функциями температуры и задавались с использованием линейно-кусочной интерполяции экспериментальных данных, приведенных в монографии [1].

Размеры и расположение катодных и анодных привязок дуги и распределение температуры вдоль катода и анода, а также размеры токопроводящей области дуги являются расчетными параметрами задачи и определяются в ходе решения сопряженной задачи в областях, занятых твердым телом, воздухом и плазмой.

Результаты расчетов

На основе разработанной модели был проведен расчет характеристик дуги для промышленного плазматрона [3], схема которого приведена на рис. 1. Варьировалась сила тока $5 \text{ A} \leq I \leq 150 \text{ A}$, массовый расход газа на входе в плазматрон $0,0002 \text{ кг/с} \leq G \leq 0,001 \text{ кг/с}$.

При силе тока 35 А и выше происходит формирование устойчивого плазменного ядра, размеры которого растут с увеличением силы тока. На рис. 2 представлены поля изотерм при силе тока $I = 60 \text{ A}$ и расходе газа $G = 0,0002 \text{ г/с}$. Из рисунка видно, что максимум температур достигается в районе катодной вставки (рис. 2), при этом радиус привязки дуги к катоду составляет 0,5 мм.

С ростом тока увеличивается максимум температуры в районе катодной вставки, напряженность электрического поля, расширяется токопроводящий канал дуги и возрастают собственные электромагнитные силы, что приводит к интенсивному ускорению

нию и нагреву плазмообразующего газа. Распределение поля скоростей в плазмотроне представлено на рис. 3 для силы тока $I = 50$ А при расходе газа $0,0002$ кг/с.

Увеличение силы тока не меняет приведенный характер распределения, а сказывается только на конкретных значениях величины скорости. Для оценки вклада собственных электромагнитных сил дуги были проведены расчеты при $H_\phi = 0$. Вклад сил Лоренца в поток импульса можно оценить по рис. 4, где приведены распределения аксиальной компоненты скорости в сечении А-А.

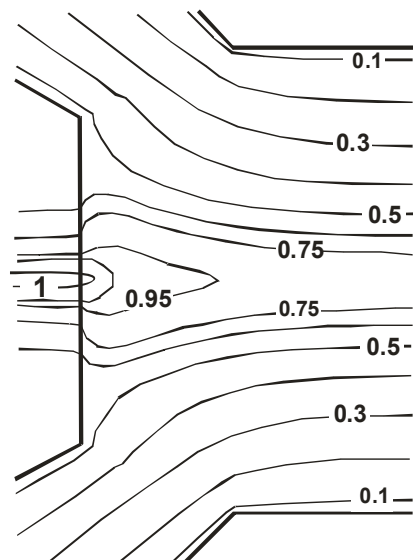


Рис. 2. Поле относительной температуры ($I = 60$ А)

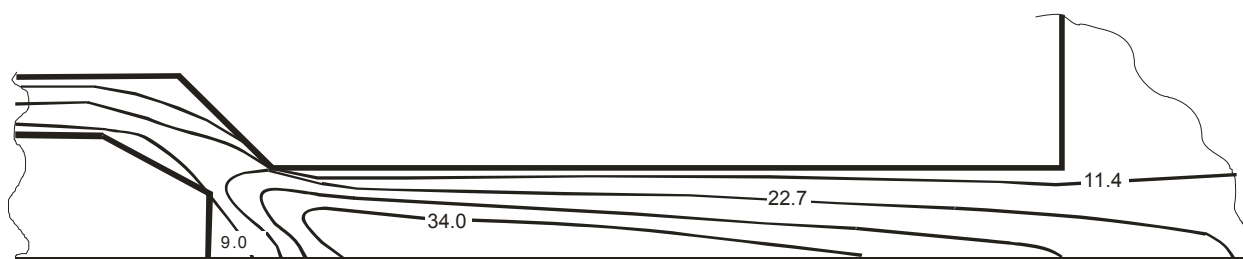


Рис. 3. Поле скоростей, м/с ($I = 50$ А)

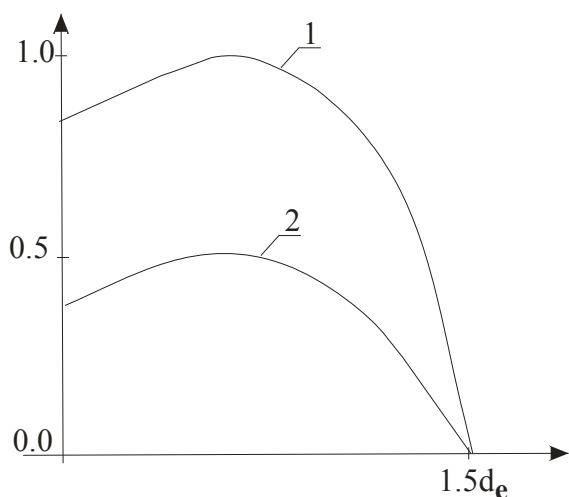


Рис. 4. Профили скорости в сечении А-А ($I = 80$ А, $G = 0,0002$ кг/с): 1 – с учетом электромагнитных сил, 2 – без учета электромагнитных сил

На рис. 5 представлено распределение температуры вдоль поверхности анода. Анализ полученного

распределения позволяет утверждать, что максимальное значение температуры на поверхности анода достигается при $z = 1,5r_e$, где координата z отсчитывается от поверхности катода, r_e – радиус катодной вставки. При увеличении силы тока положение максимума T не меняется, а его величина растет пропорционально силе тока I . Можно отметить, что подобный характер распределения температуры для данного семейства плазмотронов отмечается в работе [4].

Изменение расхода газа на входе в плазмотрон при прочих равных условиях приводит к ускорению потока газа в осевом направлении, что способствует усилению переноса тепла в аксиальном направлении и снижению максимума температур в районе вставки. Так при увеличении расхода от $G = 0,0002$ кг/с

до $G = 0,001$ кг/с при силе тока $I = 80$ А, максимум температуры в районе катодной вставки снизился на 7%.

Расчеты показали, что при токах $I = 4...10$ А энергии джоулева тепловыделения от катода недостаточно для стабильного поддержания дуги и организации ее горения в режиме ЛТР, что приводит к резкому падению проводимости и исчезновению плазмы. Таким образом, эксплуатация подобных плазмотронов на маломощных режимах происходит в режиме неравновесной плазмы.

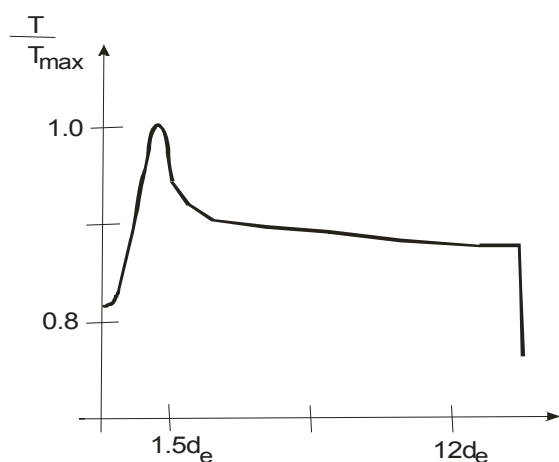


Рис. 5. Профиль относительной температуры на поверхности анода ($I = 60$ А)

Выводы

1. Предложенная методика сопряженного расчета позволяет проводить оценки характеристик электрической дуги в турбулентном потоке газа без

привлечения дополнительных экспериментальных данных о распределении поля температур на поверхностях электродов.

2. Определение размеров токопроводящей зоны непосредственно в процессе расчета позволяет выявлять условия существования устойчивой работы промышленных плазмотронов в режиме ЛТР.

Литература

1. Теория столба электрической дуги / В.С. Энгельшт, В.Ц.Гурович, Г.А. Десятков и др. // Низкотемпературная плазма. Т.1. – Новосибирск: Наука, 1990. – 376 с.
2. Теория и расчет приэлектродных процессов / И.Г. Паневин, В.И. Хвесюк, И.П. Назаренко и др. // Низкотемпературная плазма. Т.10. – Новосибирск: Наука, 1992. – 197 с.
3. Лелевкин В.М., Семенов В.Ф. Численное моделирование открытой диафрагмированной электрической дуги // Вестник КРСУ. – 2002. – № 22. – С. 25-34.
4. Романовский Г.Ф., Сербин С.И. Плазмохимические системы судовой энергетики. – Николаев: УГМТУ, 1998. – 246 с.

Поступила в редакцию 25.05.2006

Рецензент: д-р техн. наук, проф. В.П. Герасименко, Национальный аэрокосмический университет им. Н.Е. Жуковского «ХАИ», Харьков.

